

**คุณสมบัติกายภาพและการดูดซับสีย้อมชนิดรีแอกทีฟ
ของถ่านและถ่านกัมมันต์เตรียมจากเปลือกมังคุดและเมล็ดมะขาม**
รัตนา สนั่นเมือง^{a,*} และ นิตยา ชาอุ่น^b

**Physical Characteristics and Adsorption Properties for Reactive Dyes of Char and
Activated Carbon Prepared from Mangosteen Peel and Tamarind Seed**

Ratana Sananmuang^{a,*} and Nittaya Cha-un^b

^aภาควิชาเคมี คณะวิทยาศาสตร์ มหาวิทยาลัยนเรศวร อำเภอเมือง จังหวัดพิษณุโลก 65000

^bภาควิชาทรัพยากรธรรมชาติและสิ่งแวดล้อม คณะเกษตรศาสตร์ทัศพยากรธรรมชาติและสิ่งแวดล้อม มหาวิทยาลัยนเรศวร อำเภอเมือง จังหวัดพิษณุโลก 65000

^aDepartment of Chemistry, Faculty of Science, Naresuan University, Muang, Phitsanulok 65000, Thailand.

^bDepartment of Natural Resources and Environment, Faculty of Agriculture, Natural Resources and Environment, Naresuan University, Muang, Phitsanulok 65000, Thailand.

*Corresponding author. E-mail address: ratanas@nu.ac.th (R. Sananmuang)

Received 20 December 2006; accepted 26 April 2007

บทคัดย่อ

งานวิจัยนี้เป็นการศึกษาคุณสมบัติกายภาพ ปัจจัยในการดูดซับสีย้อม และประสิทธิภาพในการดูดซับสีย้อมของถ่าน และถ่านกัมมันต์ที่เตรียมจากเปลือกมังคุด และเมล็ดมะขาม โดยใช้การวิเคราะห์ด้วย SEM, ASTM D 4607-94, BET surface area, FT-IR และการทดลองแบบงะ ผลการศึกษาพบว่าถ่านที่เตรียมจากเมล็ดมะขาม มีรูพรุนสูงกว่าถ่านที่เตรียมจากเปลือกมังคุด และเมื่อนำถ่านที่เตรียมได้มาทำการกระตุนด้วยโพเทสเซียมไฮดรอกไซด์ จะพบว่าถ่านทั้งสองชนิดมีรูพรุนเพิ่มขึ้น สเปกตัม FT-IR ของถ่าน และถ่านกัมมันต์ที่เตรียมได้ เปรียบเทียบกับ activated charcoal มาตรฐาน พบร่วมกับที่ปรากฏขึ้นคล้ายกัน สำหรับการศึกษาปัจจัยในการดูดซับสีย้อม พบว่าด้วยดูดซับทุกชนิดสามารถดูดซับสารละลายสีย้อม (Reactive Yellow 145, Reactive Red 195 และ Reactive Blue 222) ได้ดีที่สุด เมื่อ pH 2 จากการศึกษาประสิทธิภาพในการดูดซับ พบร่วมกับถ่านกัมมันต์เมล็ดมะขามมีความสามารถในการดูดซับสูงสุด รองลงมาเป็นถ่านกัมมันต์เปลือกมังคุด ตามลำดับ ส่วนถ่านกัมมันต์เปลือกมังคุด และถ่านเมล็ดมะขาม มีความสามารถในการดูดซับแตกต่างกัน สำหรับอุณหภูมิที่เหมาะสมในการดูดซับจะแตกต่างกันไปตามโทนสีและชนิดของตัวดูดซับ

คำสำคัญ: สีย้อมรีแอกทีฟ; ถ่าน; ถ่านกัมมันต์; เปลือกมังคุด; เมล็ดมะขาม

Abstract

In this work, the physical characteristics, factors affecting the adsorption of the reactive dye, and the adsorption efficiency of char and activated carbon prepared from mangosteen peel and tamarind seed compared to the standard activated charcoal were studied. The analysis was made by using SEM, ASTM D 4607-94, BET surface area, FT-IR techniques and batch experiment. It was found that the number of pores of char prepared from tamarind seed was greater than that of char prepared from mangosteen peel. Additionally, the porosity of all chars activated by KOH were remarkably increased. The FT-IR spectrums of char and prepared-activated carbon were similar to the spectrums obtained from the standard activated charcoal. Based on the study of factors influencing the adsorption, it was shown that all adsorbents could adsorb dye particles in solutions (Reactive Yellow 145, Reactive Red 195 and Reactive Blue 222) at pH 2. The adsorption of the activated carbon prepared from tamarind seed gave the highest efficiency, followed by that of the activated carbon prepared from mangosteen peel. The adsorption efficiency of char made from mangosteen peel and tamarind seed were different. The optimum temperatures of the adsorption were different depending on the colors and types of adsorbents.

Keywords: Reactive dye; Char; Activated carbon; Mangosteen peel; Tamarind seed

บทนำ

ปัจจุบันอุตสาหกรรมสิ่งทอเป็นอุตสาหกรรมส่งออกที่มีการขยายตัวอย่างต่อเนื่อง ซึ่งทำรายได้ให้ประเทศไทยมากถึง 250,000 ล้านบาทต่อปี อย่างไรก็ตามผลกระทบที่เกิดขึ้นตามมาคือ ปัญหาสิ่งแวดล้อม ซึ่งส่วนใหญ่เกิดจากการทิ้งน้ำเสียของการฟอกย้อม โดยเฉพาะอย่างยิ่งสีย้อมที่ละลายอยู่ในน้ำเสีย เนื่องจากสีเหล่านี้หากต่อการย่อยสลายซึ่งได้แก่ สีรีแอกทีฟ (reactive dyes) และสีแอซิด (acid dyes) เป็นต้น (ศูนย์เทคโนโลยีโลหะและวัสดุแห่งชาติ, 2544; สำนักเทคโนโลยีสิ่งแวดล้อมโรงงาน, 2542)

การบำบัดสีย้อมในน้ำเสียจากโรงงานฟอกย้อม อาจใช้การบำบัดด้วยวิธีทางชีวภาพ เช่น การใช้ออนไซด์ และจุลินทรีย์ ได้แก่ เชื้อรา แบคทีเรีย และสาหร่าย หรือวิธีทางเคมี เช่น โคเออกูลีเซนด้วยสารเคมี, คลอรินเจน, โอลิโซนเจน, การใช้แผ่นเมมเบรน, ไฟฟ้าเคมี และการดูดซับ (สำนักเทคโนโลยีสิ่งแวดล้อมโรงงาน, 2542) ซึ่งเทคนิคการดูดซับนั้นพบว่ามีการใช้กันอย่างกว้างขวาง ด้วยดูดซับที่ใช้มีหลายชนิด เช่น ถ่านกัมมันต์ ถ่านหิน คลิติน-డีโคลาน และซิลิกา เป็นต้น (Chiou et al., 2004) โดยเฉพาะอย่างยิ่งถ่านกัมมันต์ซึ่งเป็นตัวดูดซับที่นิยมนำมาใช้ในการกำจัดสีในน้ำเสีย เนื่องจากมีพื้นที่ผิวจำเพาะสูง ทำให้มีความสามารถในการดูดซับสูง (สำนักเทคโนโลยีสิ่งแวดล้อมโรงงาน, 2542) จากงานวิจัยที่ผ่านมาพบว่า ถ่านกัมมันต์เป็นตัวดูดซับที่มีการใช้ในการกำจัดสีรีแอกทีฟ สีเบสิก สีอะโซคิด และสีเมทัลคอมเพล็กซ์ มากที่สุด (Halliday & Beszdeits, 1986) ซึ่งวัตถุดินที่ใช้ในการผลิตถ่านกัมมันต์นั้นมีหลายชนิด ได้แก่ กระบวนการเผา ถ่านหิน ถ่านโก้า กับมะพร้าว เปเลือกข้าว ชี้ลือย กระดูก กากเมล็ดกาแฟ และเปลือกของผลไม้บางชนิด เช่น ลูกแพร์ (Martinez et al., 2006) เป็นต้น

งานวิจัยนี้มุ่งเน้นการศึกษาคุณสมบัติเบื้องต้นทางกายภาพ และปัจจัยในการดูดซับสีย้อมชนิดรีแอกทีฟ 3 โภนสี ได้แก่ สีเหลือง (Reactive Yellow 145), สีแดง (Reactive Red 195) และ สีน้ำเงิน (Reactive Blue 222) โดยใช้ถ่านและถ่านกัมมันต์ ซึ่งเตรียมจากเปลือกมังคุด และเมล็ดมะขาม ทั้งนี้เพื่อลดต้นทุนการผลิตเนื่องจากเป็นวัสดุเหลือใช้ที่ต้องกำจัดทิ้งไปโดยเปล่าประโยชน์ ดังนั้นจึงควรที่จะนำวัสดุทั้งสองชนิดนี้มาผลิตเป็นถ่าน และถ่านกัมมันต์เพื่อใช้ประโยชน์ในการดูดซับสีย้อมในน้ำเสียจากโรงงานอุตสาหกรรมฟอกย้อมด่อไปในอนาคต

วัสดุอุปกรณ์ และวิธีการทดลอง

วัสดุดูดซับ

วัสดุดูดซับที่ใช้ในงานวิจัยได้แก่ ถ่าน และถ่านกัมมันต์ที่เตรียมจากเปลือกมังคุด และเมล็ดมะขาม activated charcoal มาตรฐาน (Fluka Chemical, Belgium) เพื่อใช้ในการดูดซับสารละลายสีย้อม รีแอกทีฟ 3 โภนสี ได้แก่ Rifafix Yellow 3RN (C.I Reactive Yellow 145), Rifafix Red 3BN (C.I Reactive Red 195) และ Rifafix Navy Blue BF (C.I Reactive Blue 222) (A.C Burapa, Thailand)

การเตรียมถ่านและถ่านกัมมันต์ (Martinez et al., 2006) จากเปลือกมังคุด และเมล็ดมะขาม ทำได้โดยนำวัตถุดินที่ล้างด้วยน้ำกลั่น แล้วอบให้แห้งที่อุณหภูมิ 100 °C 3 ชั่วโมง จากนั้นตัดให้มีขนาดเล็กประมาณ 3 cm และนำไปเผาแบบไร้อากาศที่อุณหภูมิ 600 °C 1 ชั่วโมง ทั้งให้เย็นที่อุณหภูมิห้อง จะได้ถ่านที่มีลักษณะสีดำ ส่วนการเตรียมถ่านกัมมันต์นั้นทำได้โดยนำถ่านที่เตรียมได้มาบดให้มีขนาดประมาณ 0.5-2 mm และแช่ถ่านในสารละลาย KOH 75 % w/w ในอัตราส่วน 1 : 1 (KOH : char) ทิ้งไว้ 1 ชั่วโมง จากนั้นนำถ่านที่แช่แล้วไปอบให้แห้งที่อุณหภูมิ 300 °C 3 ชั่วโมง และเผาต่อที่อุณหภูมิ 900 °C 1 ชั่วโมง ปล่อยให้เย็นที่อุณหภูมิห้องล้างด้วยน้ำสะอาดจนเป็นกลาง และล้างด้วยน้ำกลั่นอีก 2 ครั้ง จากนั้นทำให้แห้งที่อุณหภูมิ 100 °C นาน 2 ชั่วโมง และทิ้งให้เย็นที่อุณหภูมิห้อง จะได้ถ่านกัมมันต์ (activated carbon) ที่มีลักษณะสีดำ

การศึกษา pH ที่เหมาะสมในการดูดซับสารละลายน้ำตาลสีย้อม

ทำการศึกษา pH ที่เหมาะสมของการดูดซับ โดยใช้การทดลองแบบบวก (Arami et al., 2005) นำสารละลายน้ำตาลสีย้อมที่ความเข้มข้น 100 mg/L มาปรับ pH ให้เท่ากับ 2-10 ด้วย 0.1 M HNO₃ และ NaOH

แล้วปีเปตสารละลายน้ำมีปริมาณ 10 ml ลงในขวดรูปกรวยขนาด 125 ml แล้วเติมตัวดูดซับ 0.1 กรัม เยี่ยงที่อุณหภูมิ 20 °C 30 °C และ 40 °C ด้วยเครื่องเยี่ยงที่ความเร็ว 200 รอบ/นาที และใช้เวลา 30 นาที ทำการแยกตัวดูดซับและตัวอุกคุดซับออกจากกัน ด้วยเครื่อง夷ี่งสารที่ความเร็ว 6,000 รอบ/นาที นำสารละลายน้ำที่แยกได้วัดค่าการดูดกลืนค่านี้แสดงด้วยเครื่อง UV/VIS spectrophotometer (Unicam 8625, England) ที่ความยาวคลื่นเฉพาะ (สีเหลืองที่ 423 nm สีแดงที่ 540 nm และ สีน้ำเงินที่ 620 nm) ในการทดลองกระทำ 3 ชั้น เพื่อให้เกิดความถูกต้องและแม่นยำ (Sirianuntapiboon & Srisomsak, 2007) หาปริมาณการดูดซับของสารละลายน้ำสีเหลือง โดยใช้สูตรคำนวณ

$$\text{ปริมาณการดูดซับ (mg/g)} = \frac{\text{ความเข้มข้นที่อุกคุดซับ (mg/L)} \times \text{ปริมาตรของสารละลายน้ำ (L)}}{\text{น้ำหนักตัวดูดซับ (g)}}$$

เชียนกราฟแสดงความสัมพันธ์ ระหว่าง pH กับปริมาณการดูดซับ ที่อุณหภูมิต่างๆ เพื่อนำมาศึกษาเปรียบเทียบปริมาณ และประสิทธิภาพในการดูดซับของถ่านและถ่านกัมมันต์จากเปลือกมังคุด และเมล็ดมะขาม

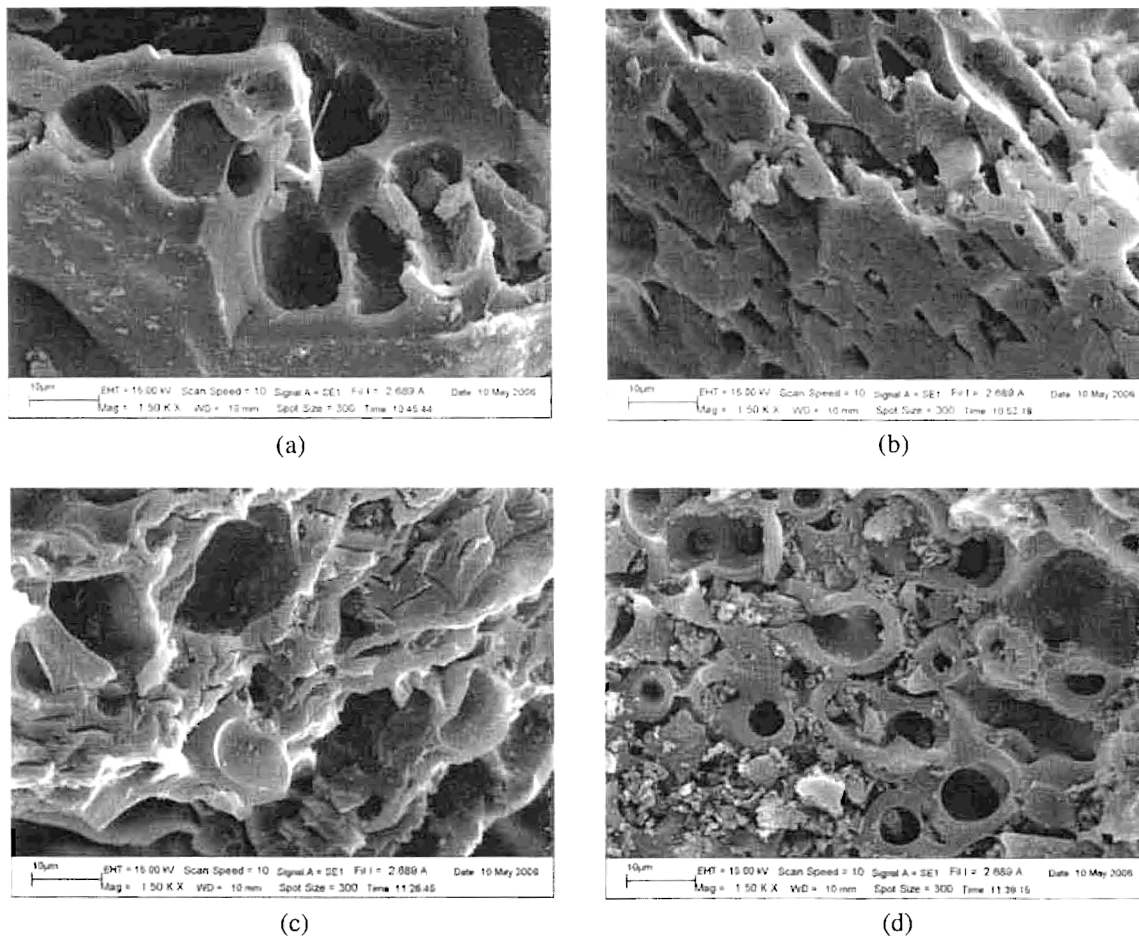
ผลการศึกษา

พื้นผิวของถ่าน และถ่านกัมมันต์ที่วิเคราะห์ด้วยเครื่อง SEM มีลักษณะดังภาพที่ 1 ถ่านที่เตรียมจากเปลือกมังคุด และเมล็ดมะขาม ที่ผ่านการกรดดูดด้วย KOH พบว่า ถ่านทั้งสองชนิดมีรูพรุนบนพื้นผิวที่เห็นได้เพิ่มขึ้นเป็นจำนวนมาก ทำให้ได้ถ่านกัมมันต์ที่มีรูพรุนและพื้นที่ผิวในการสัมผัสมากขึ้น นอกจากนี้ผลการวิเคราะห์การดูดซับไออกอีดีน โดยใช้วิธีมาตรฐาน ASTM D 4607-94 (ตารางที่ 1) พบว่า ถ่านกัมมันต์เมล็ดมะขามมีค่า iodine number สูงสุด (1,097 mg/g) รองลงมาเป็นถ่านกัมมันต์เปลือกมังคุด (909 mg/g) ส่วนถ่านเปลือกมังคุด และถ่านเมล็ดมะขามมีค่าต่ำกว่า 300 mg/g โดยผลการวิเคราะห์การดูดซับไออกอีดีนสอดคล้องกับภาพถ่าย SEM ซึ่งถ่านกัมมันต์ที่มีรูพรุนเป็นจำนวนมากทำให้มีความสามารถในการดูดซับไออกอีดีนได้สูงมาก เช่นเดียวกัน นอกจากนี้ในการวิเคราะห์ท่าพื้นที่ผิวจำเพาะด้วยเทคนิค BET surface area (ตารางที่ 1) พบว่าถ่านกัมมันต์เมล็ดมะขามมีพื้นที่ผิวจำเพาะสูงสุด (1,407 m²/g) รองลงมาเป็นถ่านกัมมันต์เปลือกมังคุด (1,120 m²/g) ถ่านเปลือกมังคุด (47.58 m²/g) และถ่านเมล็ดมะขาม (6.79 m²/g) ตามลำดับ

สำหรับการตรวจวัดหาหมู่ฟังก์ชันของถ่าน และถ่านกัมมันต์ที่เตรียมจากเปลือกมังคุด และเมล็ดมะขาม ด้วย FT-IR พบว่าจากสเปกตรัม FT-IR ทั้งของถ่านและถ่านกัมมันต์ที่เตรียมจากเปลือกมังคุด และเมล็ดมะขาม เป็นดังตารางที่ 2 โดยปรากฏแกนที่ 1500-1600 cm⁻¹ ซึ่งเป็นตำแหน่งของแणบการยืด C=C ของอะโรมาติก ซึ่งเป็นสเปกตรัมตำแหน่งเดียวกันกับที่เกิดขึ้นในถ่านที่เตรียมจากแกนข้าวโพด ในงานวิจัยของ El-Hendawy (2005) และถ่านกัมมันต์ที่เตรียมจากแกนเซอร์ในงานวิจัยของ Olivares-Martin และคณะ (2006) นอกจากนี้ถ่านกัมมันต์เปลือกมังคุด ยังปรากฏแกนที่ 1000-1260 cm⁻¹ ซึ่งเป็นตำแหน่งของแণบการยืด C-O ของหมู่ carbonyl (CO) ของฟีนอล ส่วนสเปกตรัมที่ปรากฏแกนที่ 3200-3550 cm⁻¹ ของถ่าน และถ่าน กัมมันต์เป็นตำแหน่งของแণบการยืด O-H ของหมู่ hydroxyl (OH) ในโมเลกุลของน้ำ และสามารถเกิดพันธะไฮโดรเจนระหว่างโมเลกุลในระหว่างการเตรียมตัวอย่างเพื่อทำการวิเคราะห์ด้วย FT-IR โดยถ่านและถ่านกัมมันต์มีการดูดโมเลกุลของน้ำเข้ามาจึงทำให้เกิดความซึ้งเช่นเดียวกับในงานวิจัยของ El-Hendawy (2005) ซึ่งในการเปรียบเทียบตำแหน่งของแกนที่ปรากฏของหมู่ฟังก์ชันนี้ ใช้แกนของ activated charcoal มาตรฐานเป็นสารอ้างอิง

การศึกษาอิทธิพลของค่า pH ต่อการดูดซับ (ภาพที่ 2) พบว่าตัวดูดซับทุกชนิดสามารถดูดซับสารละลายน้ำสีเหลืองทั้งสามโทนสีได้ดีที่ pH 2 เช่นเดียวกับงานวิจัยของ Santhy และ Selvapathy (2006) สำหรับการศึกษาความสามารถในการดูดซับ พบว่าถ่านกัมมันต์มีการดูดซับสูงสุดดังนี้ ถ่านกัมมันต์เมล็ดมะขามสามารถดูดซับสีย้อมสีเหลืองที่ 5.49 mg/g (30 °C) สีแดงที่ 5.64 mg/g (30 °C) และสีน้ำเงินที่ 5.24 mg/g (20 °C) รองลงมา เป็นถ่านกัมมันต์เปลือกมังคุด ดูดซับสีเหลืองที่ 4.51 mg/g (20 °C) สีแดงที่ 3.71 mg/g (20 °C) และสีน้ำเงินที่ 3.82 mg/g (20 °C) ตามลำดับ ส่วนถ่านเปลือกมังคุดและถ่านเมล็ดมะขามมีการดูดซับแตกต่างกัน

โดยถ่านเปลือกมังคุดดูดซับสีเหลืองที่ 2.18 mg/g (30 °C) สีแดงที่ 1.81 mg/g (30 °C) และสีน้ำเงินที่ 2.14 mg/g (30 °C) ถ่านเมล็ดมะขามดูดซับสีเหลืองที่ 2.70 mg/g (40 °C) สีแดงที่ 1.68 mg/g (20 °C) และสีน้ำเงินที่ 2.15 mg/g (20 °C) ตามลำดับ ซึ่งการศึกษาอุณหภูมิที่เหมาะสมในการดูดซับนั้น พนบวมีความแตกต่างกันไปตามโภนสีและชนิดของตัวดูดซับ



ภาพที่ 1 SEM ของ (a) ถ่านเปลือกมังคุด, (b) ถ่านเมล็ดมะขาม, (c) ถ่านกัมมันต์เปลือกมังคุด และ (d) ถ่านกัมมันต์เมล็ดมะขาม ที่กำลังขยาย 1,500 เท่า

ตารางที่ 1 ค่าการดูดซับไอโอดีน (iodine number) และพื้นที่ผิวจำเพาะ (BET surface area)

ตัวดูดซับ	Iodine Number (mg/g)	BET surface area (m^2/g)
ถ่านเปลือกมังคุด	ต่ำกว่า 300	47.58
ถ่านเมล็ดมะขาม	ต่ำกว่า 300	6.79
ถ่านกัมมันต์เปลือกมังคุด	909	1,120
ถ่านกัมมันต์เมล็ดมะขาม	1,097	1,407

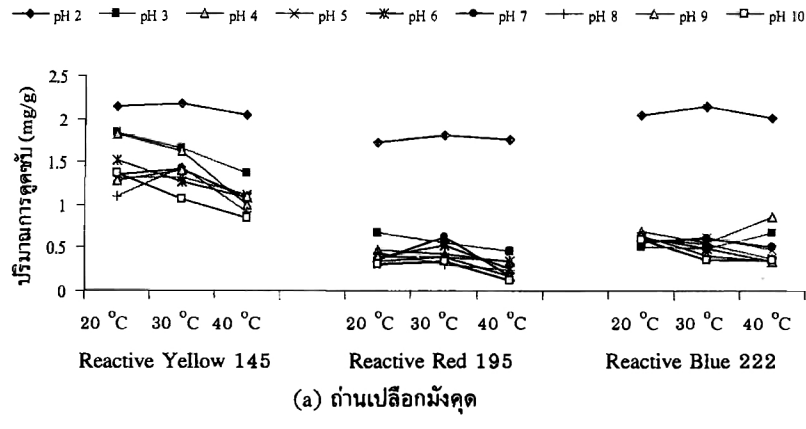
ตารางที่ 2 หมู่ฟังก์ชันของ activated charcoal มาตรฐาน ถ่านและถ่านกัมมันต์เตรียมจากเปลือกมังคุดและเมล็ดมะขาม

ตัวคูดชับ	Wavenumber, cm^{-1}		
	3200–3550	1500–1600	1000–1260
	$\nu(\text{O-H})$	$\nu(\text{C=C})$	$\nu(\text{C-O})$
ถ่านเปลือกมังคุด	-	1577	-
ถ่านเมล็ดมะขาม	-	1573	-
ถ่านกัมมันต์เปลือกมังคุด	3445	1561	1147
ถ่านกัมมันต์เมล็ดมะขาม	3446	1576	-
Activated charcoal มาตรฐาน	3440	1571	1165

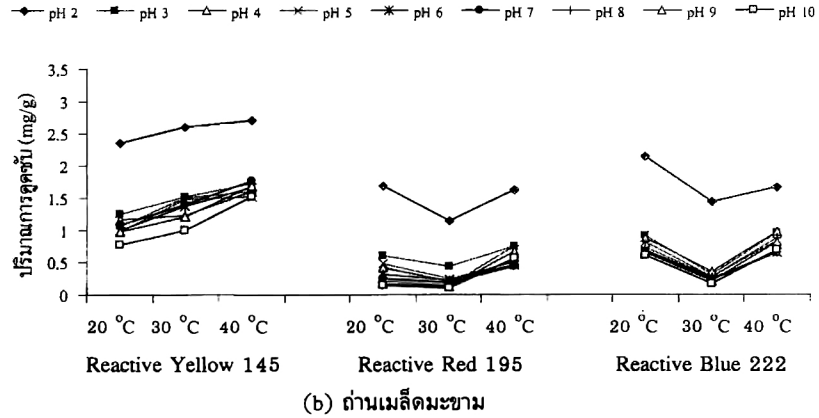
วิจารณ์ผลการศึกษา

ถ่านที่เตรียมจากเปลือกมังคุด และเมล็ดมะขามที่ผ่านการกระตุนด้วย KOH พบร่วมกับถ่านทั้งสองชนิด มีรูพรุนเพิ่มขึ้นเป็นจำนวนมาก ทำให้ได้ถ่านกัมมันต์ที่มีรูพรุนและพื้นที่ผิวในการสัมผัสมากขึ้น ซึ่งในการกระตุนผิวของถ่านด้วย KOH นั้น จะทำให้เกิด K_2CO_3 พร้อมกับการสลายให้ CO_2 และ CO ออกมานา (Cao et al., 2006) โดยหมู่คาร์บอนิล (CO) และคาร์บออกซิเลต (COO^-) จะเกิดปฏิกิริยาออกซิเดชันในระหว่างการแช่ด้วย KOH และในขั้นตอนการให้ความร้อน มีผลทำให้ผิวของถ่านมีรูพรุนเพิ่มมากขึ้น (Lua & Yang, 2004) ซึ่งสอดคล้องกับผลการวิเคราะห์การคูดชับไอโอดีนและค่า BET surface area โดยถ่านกัมมันต์ที่มีรูพรุนเป็นจำนวนมากทำให้มีความสามารถในการดูดซับไอโอดีนได้สูงมากเช่นเดียวกัน ซึ่งสอดคล้องกับผลงานวิจัยของ Martinez และคณะ (2006) ส่วนการวิเคราะห์スペกตรัม FT-IR ของถ่านและถ่านกัมมันต์ที่เตรียมได้นั้น พบร่วมกับกราฟเป็นตำแหน่งเดียวกันกับ activated charcoal มาตรฐาน รวมทั้งที่ปรากฏในถ่านที่เตรียมจากแกนข้าวโพดในงานวิจัยของ El-Hendawy (2005) และถ่านกัมมันต์ที่เตรียมจากแกนเชอร์รี่ในงานวิจัย ของ Olivares-Marín และคณะ (2006)

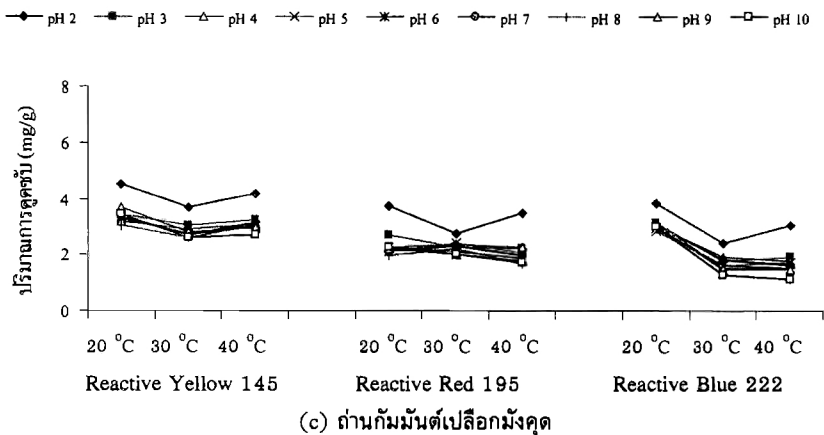
สำหรับการศึกษาค่า pH พบร่วมตัวคูดชับทุกชนิดสามารถคูดชับสารละลายสีย้อมทั้งสามโทนสีได้ดีที่ pH 2 เนื่องจากการปรับค่า pH ของสารละลายสีย้อมเป็นการเพิ่มประจุให้กับพื้นผิวของถ่านและถ่านกัมมันต์ ซึ่งจะส่งผลถึงความแรงของปฏิกิริยาไฟฟ้าสถิต (electrostatic reaction) ระหว่างโมเลกุลของสีย้อมและพื้นที่ผิวของตัวคูดชับดังนั้น สารละลายสีรีแอกทีฟที่มี pH ต่ำ (เป็นกรด) จะทำให้เกิดประจุบวกบนพื้นผิวของถ่านกัมมันต์ ส่งผลให้แรงไฟฟ้าสถิตมีสูง จึงสามารถดูดซับสีรีแอกทีฟซึ่งเป็นสีประจำลูบได้ดี (Orfao et al., 2006) สำหรับอุณหภูมิที่เหมาะสมในการคูดชับจะแตกต่างกันไปตามโทนสีและชนิดของตัวคูดชับ



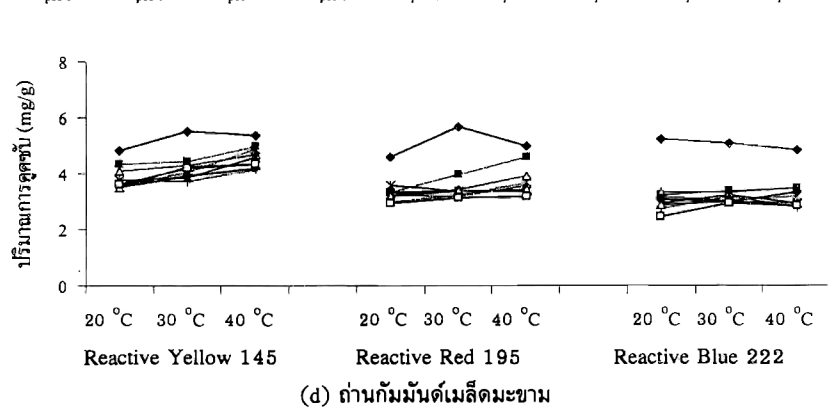
(a) ถ่านเปลือกมังคุด



(b) ถ่านเมลีดมะขาม



(c) ถ่านกัมมันต์เปลือกมังคุด



(d) ถ่านกัมมันต์เมลีดมะขาม

ภาพที่ 2 ผลของ pH และอุณหภูมิในการตัดขับสารละลายสีย้อม ด้วยถ่านและถ่านกัมมันต์จากเปลือกมังคุด และเมลีดมะขาม

สรุปผลการศึกษา

ถ่านที่เตรียมจากเปลือกมังคุด และเมล็ดมะขาม หลังผ่านการกรองด้วย KOH พบร่วงถ่านทั้งสองชนิด มีรูพรุนเพิ่มขึ้นเป็นจำนวนมาก ทำให้ได้ถ่านกัมมันต์ที่มีรูพรุนและพื้นที่ผิวในการสัมผัสมากขึ้น ซึ่งสอดคล้องกับผล การวิเคราะห์การดูดซับไฮโดรเจน โดยถ่านกัมมันต์เมล็ดมะขามมีค่า iodine number สูงสุด ($1,097 \text{ mg/g}$) รองลงมา เป็นถ่านกัมมันต์เปลือกมังคุด (909 mg/g) ส่วนถ่านเปลือกมังคุดและถ่านเมล็ดมะขามมีค่าต่ำกว่า 300 mg/g นอกจากนี้ยังสอดคล้องกับผลการวิเคราะห์พื้นที่ผิวจำเพาะ (BET surface area) โดยถ่านกัมมันต์เมล็ดมะขาม มีพื้นที่ผิวจำเพาะสูงสุด ($1,407 \text{ m}^2/\text{g}$) รองลงมาเป็นถ่านกัมมันต์เปลือกมังคุด ($1,120 \text{ m}^2/\text{g}$) ถ่านเปลือกมังคุด ($47.58 \text{ m}^2/\text{g}$) และถ่านเมล็ดมะขาม ($6.79 \text{ m}^2/\text{g}$) ตามลำดับ สำหรับการวิเคราะห์スペกตรัม FT-IR ของถ่าน และถ่านกัมมันต์ที่เตรียมได้จากเปลือกมังคุดและเมล็ดมะขาม พบร่วง นิ้วแคนที่ปรากฏขึ้นคล้ายกันกับแบบที่ปรากฏ ของ activated charcoal มาตรฐาน

ในการศึกษาค่า pH พบร่วงตัวดูดซับทุกชนิดสามารถดูดซับสารละลายสีย้อมทั้งสามโภนสีได้ดีที่ pH 2 และจากการศึกษาประสิทธิภาพในการดูดซับสีย้อมสีเหลือง สีแดง และสีน้ำเงิน พบร่วงถ่านกัมมันต์เมล็ดมะขาม มีความสามารถในการดูดซับสูงสุด ($5.49, 5.64, 5.24 \text{ mg/g}$) รองลงมาเป็นถ่านกัมมันต์เปลือกมังคุด ($4.51, 3.71, 3.82 \text{ mg/g}$) ตามลำดับ ส่วนถ่านเปลือกมังคุด ($2.18, 1.81, 2.14 \text{ mg/g}$) และถ่านเมล็ดมะขาม ($2.70, 1.68, 2.15 \text{ mg/g}$) มีความสามารถในการดูดซับแตกต่างกัน ส่วนอุณหภูมิที่เหมาะสมในการดูดซับจะแตกต่างกันไป ตามโภนสีและชนิดของตัวดูดซับ

กิตติกรรมประกาศ

ขอขอบคุณ ผศ.ดร. อภิชาติ สนธิสมบัติ คณะวิศวกรรมศาสตร์ มหาวิทยาลัยเทคโนโลยีราชมงคลธัญบุรี และคุณประภาส พัฒนอมร บริษัทเอชบูรพา จำกัด ที่ให้ความอนุเคราะห์มอบตัวอย่างสีรีวอกทิฟเพื่อใช้ในงานวิจัย และขอขอบคุณภาควิชาเคมี คณะวิทยาศาสตร์ มหาวิทยาลัยนเรศวร

เอกสารอ้างอิง

- ศูนย์เทคโนโลยีโลหะและสุดแห่งชาติ. (2544). การประยุกต์ใช้ไคดินและไคโตชาน. กรุงเทพฯ: สำนักงานพัฒนา วิทยาศาสตร์และเทคโนโลยีแห่งชาติ
- สำนักเทคโนโลยีสิ่งแวดล้อมโรงงาน. (2542). คู่มือการจัดการสิ่งแวดล้อม อุตสาหกรรมฟอกย้อม. กรุงเทพฯ: กระทรวงอุตสาหกรรม.
- Arami M., Limaei, N. Y., Mahnoodi, N. M., & Tabrizi, N. S. (2005). Removal of dyes from colored textile wastewater by orange peel adsorbent: Equilibrium and kinetic studies. *Journal of Colloid and Interface Science*, 288, 371–376.
- Cao, Q., Xie, K., Lv, Y., & Bao, W. (2006). Process effects on activated carbon with large specific surface area from corn cob. *Bioresource Technology*, 97, 110–115.
- Chiou, M. S., Ho, P. Y., & Li, H. Y. (2004). Adsorption of anionic dyes in acid solution using chemically cross-linked chitosan beads. *Dyes and Pigments*, 60, 69–84.
- El-Hendawy, A. A. (2005). Surface and adsorptive properties of carbons prepared from biomass. *Applied Surface Science*, 252, 287–295.
- Halliday, P. J., & Beszedits, S. (1986). Color removal from textile mill wastewater. *Canadian Textile*

- Lua, A. C., & Yang, T. (2004). Effect of activation temperature on the textural and chemical properties of potassium hydroxide activated carbon prepared from pistachio-nut shell. *Journal of Colloid and Interface Science*, 274, 594–601.
- Martinez, M. L., Torres, M. M., Guzman, C. A., & Maestri, D. M. (2006). Preparation and characteristics of activated carbon from live stones and walnut shells. *Industrial Crops and Products*, 23, 23–28.
- Olivares-Marin, M., Fernandez-Gonzalez, C., Macias-Garcia, A., & Gomez-Serrano, V. (2006). Preparation of activated carbons from cherry stones by activation with potassium hydroxide. *Applied Surface Science*, 252, 5980–5983.
- Orfao, J. J. M., Silva, A. I. M., Pereira, J. C. V., Barata, S. A., Fonseca, I. M., Faria, P. C. C., et al. (2006). Adsorption of a reactive dye on chemically modified activated carbons-Influence of pH. *Journal of Colloid and Interface Science*, 296, 480–489.
- Santhy, K., & Selvapathy, P. (2006). Removal of reactive dyes from wastewater by adsorption on coir pith activated carbon. *Bioresource Technology*, 97, 1329–1336.
- Sirianuntapiboon, S., & Srisornsak, P. (2007). Removal of disperse dyes from textile wastewater using bio-sludge. *Bioresource Technology*, 98, 1057–1066.